

บทที่ 3

กระบวนการสารสูง กระบวนการดีสารสูง และทฤษฎี

3.1 บทนำ

ปัจจุบันในการผลิตหาร์ดดิสก์จะมีขั้นตอนการเชื่อมยึดติดแขนแอกทูเอเตอร์ (actuator arm) กับแขนชั้สเพนชัน (suspension arm) ซึ่งมีหัวอ่าน/เขียนหาร์ดดิสก์ (read/write head) ติดอยู่ โดยกระบวนการสวิง (swaging process) เพื่อช่วยให้สมรรถนะของการผลิตสูงขึ้น ซึ่งกระบวนการสวิง คือ กระบวนการบีบหรืออัดให้วัสดุมีการเปลี่ยนรูป เพื่อให้วัสดุมีการยึดติดกัน โดยมีข้อดี ดังนี้

- ประยุคเวลา เนื่องจากผู้ของชิ้นงานที่ผ่านกระบวนการสร้าง มีคุณภาพดี ไม่ทำให้ผู้ของชิ้นงานเปลี่ยนสภาพ จึงไม่ต้องมาเสียเวลาแต่งผิวและรูปร่างของชิ้นงาน และยังมีระยะเวลาในการประกอบชิ้นงานที่น้อยกว่าการเชื่อม การติดกาว หรือการใช้สลักเกลี่ยว นอกจากนี้กระบวนการสร้าง ยังมีการจัดเตรียมอุปกรณ์ต่างๆ ได้ง่าย

- ประยุคเนื้อวัสดุ เนื่องจากในกระบวนการสูง ชิ้นส่วนแต่ละชิ้นจะถูกดันให้ยึดติดกัน จึงไม่ต้องมีการใช้วัสดุเพิ่มเติมในการประกอบชิ้นส่วน เช่น ลวดเชื่อม กาว หรือสลักเกลียว

- ชิ้นงานที่ได้จะมีความแข็งแรงมากขึ้น เนื่องจากโครงสร้างของเกรน (Gain) ในเนื้อวัสดุ จะเรียงตัวใหม่ซึ่งทำให้ชิ้นงานมีความแข็งแรงเพิ่มขึ้น

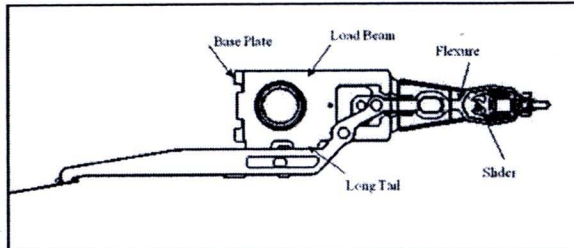
แต่เมื่อหัวอ่าน/เขียนสารคดิสก์มีข้อบกพร่องขึ้นในบางชิ้น สามารถแก้ไขปัญหาได้โดยการ
ดัดแปลงชั้สเพนชั้นที่มีหัวอ่าน/เขียนที่มีข้อบกพร่องออกจากแนวแอคทูเอเตอร์ ซึ่งเรียกว่า
กระบวนการดีสวจ (de-swaging process) แล้วนำชั้สเพนชั้นที่มีหัวอ่าน/เขียนที่ดีเข้ามาใส่แทน
ในระหว่างกระบวนการดีสวจแรงกดใบมีด (blade) ของอุปกรณ์ดีสวจ (de-swage tool) จะแยก
หัวอ่าน/เขียนสารคดิสก์ที่มีข้อบกพร่องออกมา ซึ่งขนาดของแรงกด และมุมของใบมีดอุปกรณ์
ดีสวจ จะมีผลกระทบต่อการเสียรูปของแนวแอคทูเอเตอร์

3.2 กระบวนการสวีจ (Swaging Process)

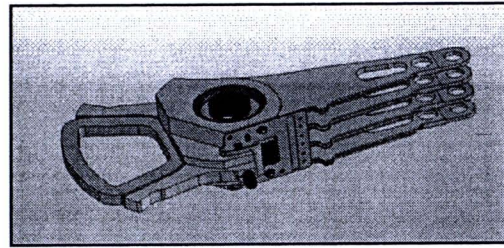
3.2.1 กระบวนการสร้างโดยใช้ลูกนอล (Ball Swaging Process)

กระบวนการสร้างชนิดนี้เป็นแบบที่ใช้ทำการศึกษาในการศึกษานี้ เป็นกระบวนการที่ใช้ลูกบล็อกทรงกลมที่มีเส้นผ่านศูนย์กลางใหญ่กว่ารูหรือช่องของชิ้นงานที่จะทำการยึดติดกัน เล็กน้อย เมื่อยิงลูกบล็อกผ่านรู ก็จะทำให้วัสดุที่อยู่ด้านในมีการขยายตัวเปลี่ยนรูปร่างอย่างถาวรอัตโนมัติ

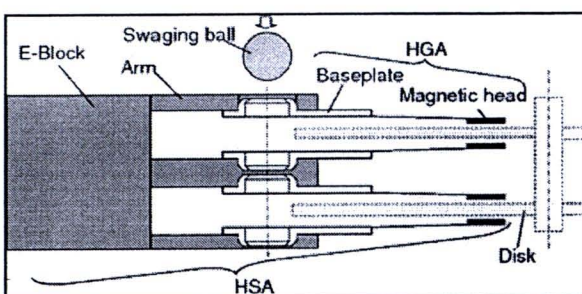
เข้ากับวัสดุที่ล้อมรอบอยู่ด้านนอก เกิดความคันสัมผัสระหว่างผิวของวัสดุทั้งสอง ทำให้วัสดุมีการยึดติดกัน ซึ่งในอุตสาหกรรมประกอบชิ้นส่วนอาร์ดิสก์ มีการนำกระบวนการสเวจ โดยใช้ลูกบอล ดังภาพที่ 3.1 (ก) ในกระบวนการประกอบ หัวอ่าน/เขียนข้อมูล (Head Gimbal Assembly, HGA) ดังภาพที่ 3.1 (ข) ประกอบเข้ากับ แขนหัวอ่านเขียน (Actuator Arm) ดังภาพที่ 3.1 (ค) เพื่อให้ได้ชุดประกอบหัวอ่าน/เขียนสำเร็จ (Head Stack Assembly, HSA) ดังภาพที่ 3.1 (ง)



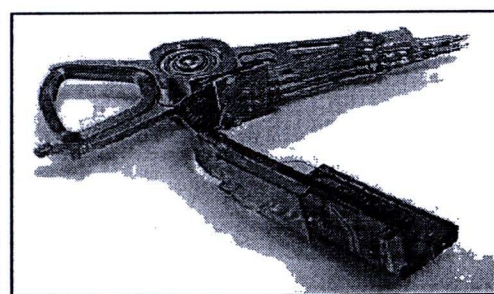
(ก)



(ข)



(ค)



(ง)

ภาพที่ 3.1 ส่วนประกอบ และลักษณะการบิ่งลูกบอลในกระบวนการสเวจด้วยลูกบอล

- (ก) หัวอ่าน/เขียนข้อมูล (Head Gimbal Assembly, HGA) [4]
- (ข) แขนหัวอ่านเขียน (Actuator Arm)
- (ค) กระบวนการสเวจด้วยลูกบอล (Ball Swaging Process) [20]
- (ง) ชุดประกอบหัวอ่าน/เขียนสำเร็จ (Head Stack Assembly, HSA) [21]

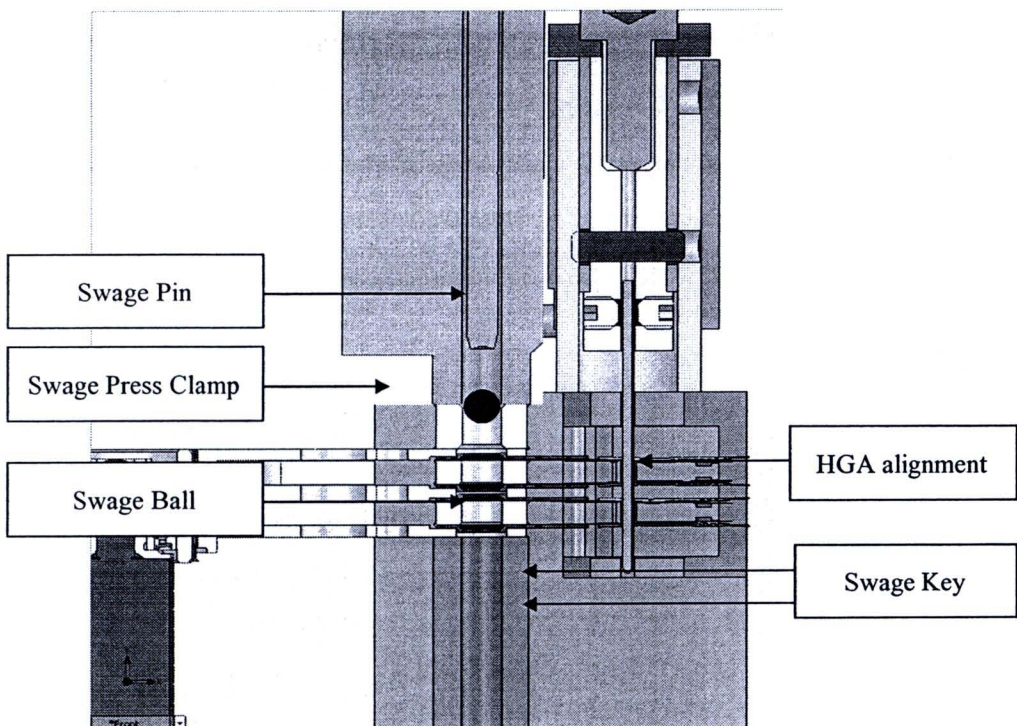
เครื่องมือที่ใช้ในการประกอบหัวอ่าน/เขียนสำเร็จ (Swaging Machine) ดังภาพที่ 3.2 ซึ่งมีส่วนประกอบหลัก ๆ ดังนี้

1. เจี้มสเวจ (Swage Pin) ทำหน้าที่ยิงหรือดันลูกบอล เพื่อบีบอัดแผ่นฐาน (Base Plate) ให้ติดกับ แขนหัวอ่าน/เขียน (Actuator arm)
2. อุปกรณ์จับกดชิ้นงาน (Swage Press Clamp) ทำหน้าที่ จับยึดชิ้นงาน ให้อยู่นิ่งขณะที่บิ่งลูกบอล โดยที่กดด้วยแรง 150 – 250 ปอนด์

3. ชิ้นส่วนรองแขนหัวอ่าน/เขียนในแต่ละหัวอ่าน (Swage Key) ทำหน้าที่เป็นตัวรองหรือกันในแต่ละชั้นของหัวอ่าน/เขียน ให้ระบบห่างในแต่ละชั้นคงที่

4. ลูกบอล (Swage Ball) เป็นอุปกรณ์ที่สำคัญและมีผลต่อกระบวนการสร้าง ที่สุด ซึ่งทำมาจาก Stainless Steel มีขนาดเส้นผ่าศูนย์กลางระหว่าง 0.078 – 0.0823นิ้ว ซึ่งการกำหนดขนาด และจำนวนลูกบอลที่ใช้ขึ้นอยู่กับแต่ละผลิตภัณฑ์

5. ชุดจัดแนวหัวอ่าน/เขียน (HGA alignment) ทำหน้าที่เป็นตัวยึดไม่ให้หัวอ่าน/เขียนเคลื่อนตัวและจัดให้หัวอ่าน/เขียน อยู่ในแนวตรงกัน ในขณะที่ทำการสร้าง



ภาพที่ 3.2 โครงสร้างของเครื่องสร้าง

ขั้นตอนในการทำงานของเครื่องสร้าง (Swaging Machine) มีดังนี้

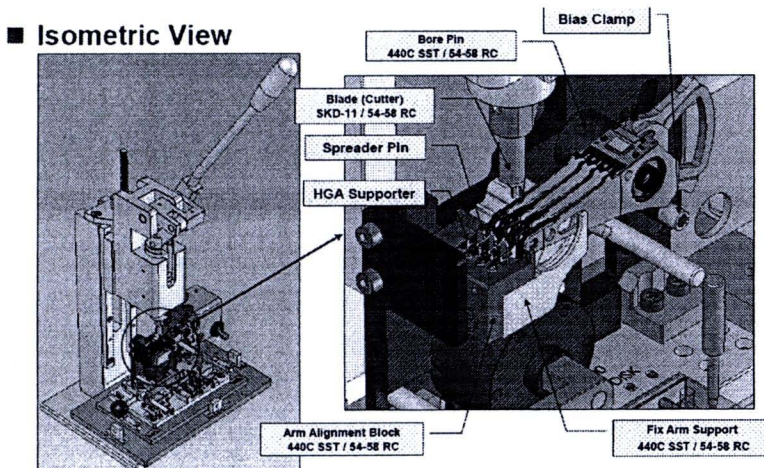
1. นำชุดประกอบหัวอ่าน/เขียนสำเร็จ (HAS) ใส่ในชุดจับยึดชิ้นงาน (Swage Shuttle) โดยจะชิ้นส่วนรองแขนหัวอ่าน/เขียนในแต่ละหัวอ่าน (Swage Key) มาสอดรับในแต่ละชั้นของแขนหัวอ่าน/เขียน แล้วเอาเข้าสู่เครื่องสร้าง

2. อุปกรณ์จับกดชิ้นงาน (Swage Press Clamp) กดด้วยแรง 150 – 250 ปอนด์ เพื่อให้แผ่นฐาน กับ แขนหัวอ่าน/เขียน อยู่นิ่งขณะที่ยิงลูกบอล

3. เข็มสวেจ (Swage Pin) จะดันลูกบล็อก ด้วยความเร็ว ประมาณ 5 – 60 เมตรต่อวินาที โดยค่าความเร็วสามารถปรับค่าได้ ซึ่งลูกบล็อก จะมีขนาดใหญ่กว่ารูของแผ่นฐาน เพื่อที่จะบีบอัด บริเวณรูของแผ่นฐาน (Base Plate Hub) ให้ขยายไปยึดติดบริเวณขอบรูของแขนหัวอ่าน/เขียนข้อมูล (Actuator Arm) เพื่อให้ได้ ชุดประกอบหัวอ่าน/เขียนสำเร็จ (Head Stack Assembly, HSA) ซึ่งวุฒิ จากการทำงานหนึ่งครั้งจะใช้เวลาประมาณ 20 – 30 วินาที

3.3 กระบวนการดีสวেจ (De-Swaging Process)

ในกระบวนการประกอบหัวอ่าน/เขียนสำเร็จในขณะที่ประกอบหัวอ่านเขียนเสร็จแล้วจะมี การตรวจสอบคุณภาพของหัวอ่าน/เขียน และถ้าตรวจสอบพบว่าหัวอ่าน/เขียนยังไม่มีข้อบกพร่อง จะต้องนำหัวอ่าน/เขียนชิ้นใหม่มาประกอบแทนชิ้นเดิม และก่อนที่จะนำหัวอ่าน/เขียนชิ้นใหม่มา ประกอบจะต้องใช้ใบมีดของอุปกรณ์ดีสวेज ดังภาพที่ 3.3 มากคลึงมาระหว่างแขนและคูณเอเตอร์กับ แผ่นฐานที่มีหัวอ่าน/เขียน นั้นติดอยู่ เพื่อแยกแขนและคูณเอเตอร์กับแผ่นฐานให้แยกออกจากกัน ซึ่ง เรียกว่ากระบวนการการดีสวेज แล้วนำหัวอ่าน/เขียนใหม่เข้ามาประกอบแทนชิ้นเดิม



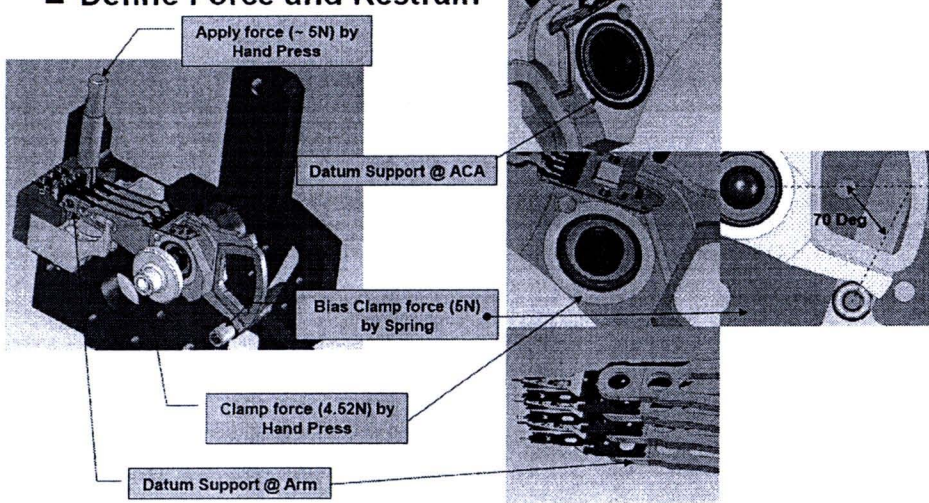
ภาพที่ 3.3 อุปกรณ์ดีสวेज (De-Swage Tool)

เครื่องมือที่ใช้ในกระบวนการดีสวेजมีส่วนประกอบหลัก ดังนี้

1. มือกด (Hand Press) ทำหน้าที่รับแรงกดจากภายนอกแล้วส่งผ่านแรงกดไปที่อุปกรณ์ ดีสวेजและไปที่ใบมีด
2. ใบมีด (Blade) ทำหน้าที่รับแรงกดจากอุปกรณ์ดีสวेजแล้วคลึงมาระหว่างแขนและคูณเอเตอร์กับแผ่นฐาน เพื่อแยกแขนและคูณเอเตอร์กับแผ่นฐานให้แยกออกจากกัน

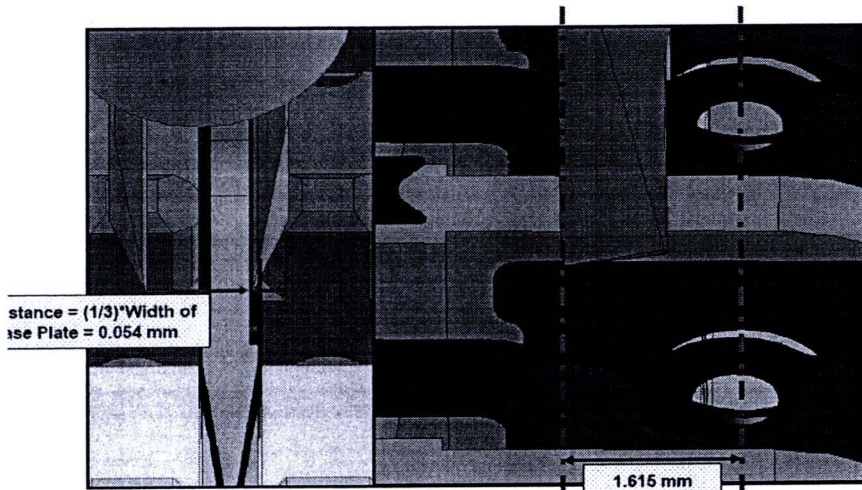
3. หมุดแยก (Spreader Pin) ทำหน้าที่แยกแขนชั้สเพนชันออกไม่ให้ซิดกัน
 4. ชิ้นส่วนจัดแนวแขนหัวอ่าน/เขียน (Arm Alignment Block) ทำหน้าที่จัดเรียงแขนหัวอ่าน/เขียนให้เรียงในระนาบเดียวกัน
 5. ชิ้นส่วนรองรับแขนหัวอ่าน/เขียน (HGA Supporter) ทำหน้าที่รองรับแขนหัวอ่าน/เขียนในขณะดีไซร์
 6. ชิ้นส่วนรองรับแขนหัวอ่าน/เขียน (Fix Arm Support) ทำหน้าที่รองรับแขนหัวอ่าน/เขียนในขณะดีไซร์
 7. หมุดยึดชิ้นงาน (Bore Pin) ทำหน้าที่ยึดแขนแยกทุกอิเลคโทรร์ไม่ให้ขยับออกจากแนวปกติ
- ขั้นตอนการทำงานของอุปกรณ์ดีไซร์**
1. นำชุดประกลบแขนหัวอ่าน/เขียนสำเร็จ (HSA) จัดวางบนชิ้นส่วนรองรับแขนหัวอ่าน/เขียน ชิ้นส่วนรองรับแขนหัวอ่าน/เขียน และชิ้นส่วนจัดแนวแขนหัวอ่าน/เขียน โดยมีหมุดแยกแขนหัวอ่าน/เขียนชั้สเพนชันออกจากกัน
 2. ออกแบบกดที่มือกดเพื่อส่งผ่านแรงกดให้อุปกรณ์ดีไซร์ และอุปกรณ์ดีไซร์จะรับแรงกดจากอุปกรณ์ดีไซร์ด้วยแรงขนาด 5 N ดังภาพที่ 3.4 แล้วกดลงมาระหว่างแขนแยกทุกอิเลคโทรร์กับแผ่นฐาน เพื่อแยกแขนแยกทุกอิเลคโทรร์กับแผ่นฐานให้แยกออกจากกัน โดยใบมีดจะอยู่ในตำแหน่งที่ห่างจากขอบของแผ่นฐาน 1 ใน 3 ของความหนาของแผ่นฐาน และห่างจากจุดศูนย์กลางรูของแผ่นฐาน 1.615 มิลลิเมตร ดังภาพที่ 3.5 และมุมของใบมีดมีขนาด 140.43 องศา ดังภาพที่ 3.6 แล้วก้มือกดขึ้น

■ Define Force and Restrain

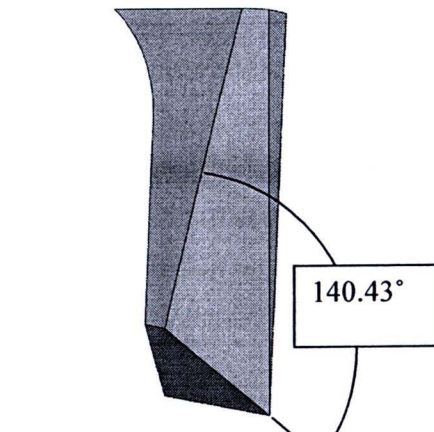


ภาพที่ 3.4 การกำหนดเงื่อนไขของเขตของอุปกรณ์ดีไซร์

■ Location of Blade when De-swage



ภาพที่ 3.5 ตำแหน่งของใบมีดในระหว่างกระบวนการดีสวেจ



ภาพที่ 3.6 ใบมีดของอุปกรณ์ดีสวेज

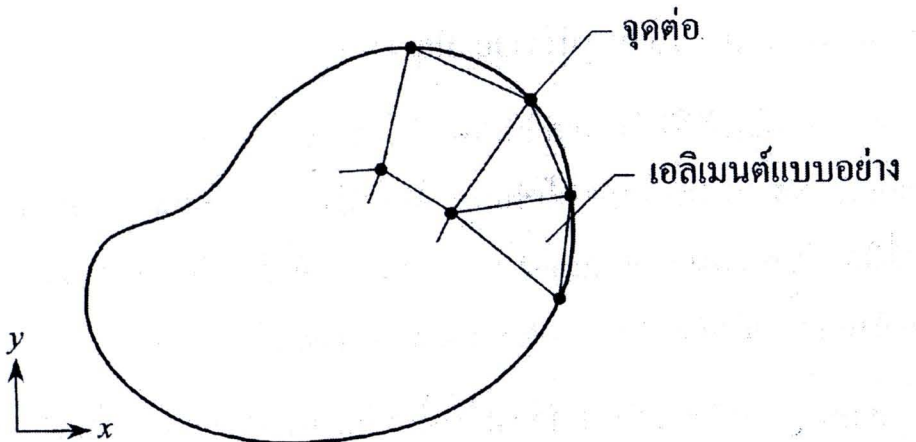
3.4 ทฤษฎี

3.4.1 ระเบียบวิธีไฟไนต์เอลิเมนต์

3.4.1.1 ขั้นตอนทั่วไปของระเบียบวิธีไฟไนต์เอลิเมนต์

ระเบียบวิธีไฟไนต์เอลิเมนต์ประกอบด้วย 6 ขั้นตอนหลัก ดังต่อไปนี้

ขั้นตอนที่ 1 การแบ่งขอบเขตปูร่วงของปัญหาออกเป็นэлемент์บ่อย ๆ ดังแสดงในภาพที่ 15 ขอบเขตถักกล่าวอาจเป็นขอบเขตของปัญหานิดต่าง ๆ กัน เช่น ปัญหาความยืดหยุ่นในของแข็ง (Elasticity problem) รวมทั้งปัญหาของของไหล (Fluid problem) เป็นต้น

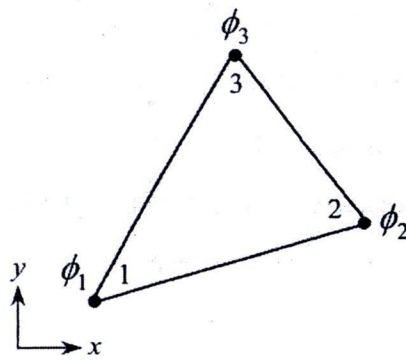


ภาพที่ 3.7 การแบ่งรูปปูร่วงของปัญหาออกเป็นэлементъแบบต่างๆ กัน [7]

ขั้นตอนที่ 2 การเลือกฟังก์ชันประมาณภายในэлементъ (Element interpolation functions) เช่น เอลิเมนต์สามเหลี่ยม (элементъแบบอย่างดังแสดงด้วยตัวอย่างในภาพที่ 3.7) เอลิเมนต์นี้ ประกอบด้วย 3 จุดต่อที่มีหมายเลข 1, 2 และ 3 ดังแสดงในภาพที่ 3.8 โดยที่จุดต่อเป็นตำแหน่งที่ตั้งของตัวไม่รู้ค่า (Nodal unknowns) ซึ่งคือ \varnothing_1 , \varnothing_2 และ \varnothing_3 ตามลำดับ ตัวไม่รู้ค่าที่จุดต่ออาจเป็นค่าของการเดียรูป (Displacement) หากเราวิเคราะห์ปัญหาความยืดหยุ่นในของแข็ง หรืออาจเป็นค่าของอุณหภูมิหากเราทำปัญหาเกี่ยวกับการถ่ายเทความร้อน หรืออาจเป็นความเร็วของของไหลหากเราวิเคราะห์ปัญหาเกี่ยวกับการไหล เป็นต้น ลักษณะการกระจายของตัวไม่รู้ค่าบนเนอลิเมนต์นี้ สามารถเขียนให้อยู่ในรูปแบบของฟังก์ชันการประมาณภายในและตัวไม่รู้ค่าที่จุดต่อได้ คือ

$$\varnothing(x, y) = N_1(x, y)\varnothing_1 + N_2(x, y)\varnothing_2 + N_3(x, y)\varnothing_3 \quad (3.14)$$

โดย $N_i(x, y), i = 1, 2, 3$ แทนฟังก์ชันประมาณภายในэлементъ



ภาพที่ 3.8 เอลิเมนต์สามเหลี่ยมแบบอย่างประกอบด้วยสามจุดต่อ โดยมีตัวไมรูค่าอยู่
ณ ตำแหน่งที่จุดต่อ [7]

สมการ (3.14) สามารถเขียนให้อยู่ในรูปแบบของเมตริกซ์ได้ คือ

$$\begin{aligned} \phi(x, y) &= [N_1 \ N_2 \ N_3] \begin{Bmatrix} \phi_1 \\ \phi_2 \\ \phi_3 \end{Bmatrix} \\ &= [N]_{(1 \times 3)} \{\phi\}_{(3 \times 1)} \end{aligned} \quad (3.15)$$

โดย $[N]$ แทนเมตริกซ์ฟังก์ชันการประมาณภายในเอลิเมนต์ และ $\{\phi\}$ แทนเวกเตอร์เมตริกซ์ที่ประกอบด้วยตัวไมรูค่าที่จุดต่อของเอลิเมนต์นั้น ในทำาเลมนี้ สัญญาลักษณ์ $[]$ แสดงถึง เมตริกซ์แถวอน (row matrix) และ $\{ \}$ แสดงถึงเมตริกซ์แคลตั้ง (column matrix) ที่เรียกกันว่า เวกเตอร์ รายละเอียดของเมตริกซ์และการใช้ได้อธิบายในภาคผนวก ก

ขั้นตอนที่ 3 การสร้างสมการของเอลิเมนต์ (element equations) ดังตัวอย่างเช่น สมการ ของเอลิเมนต์สามเหลี่ยมแบบอย่างดังแสดงในภาพที่ 17 จะอยู่ในรูปแบบดังนี้

$$\begin{bmatrix} k_{11} & k_{12} & k_{13} \\ k_{21} & k_{22} & k_{23} \\ k_{31} & k_{32} & k_{33} \end{bmatrix}_e \begin{Bmatrix} \phi_1 \\ \phi_2 \\ \phi_3 \end{Bmatrix}_e = \begin{Bmatrix} F_1 \\ F_2 \\ F_3 \end{Bmatrix}_e \quad (3.16)$$

ซึ่งเขียนบ่อได้เป็น

$$[K]_e \{\phi\}_e = \{F\}_e \quad (3.17)$$

ขั้นตอนนี้ ถือเป็นหัวใจสำคัญของการศึกษาระเบียนวิธีไฟในต์เอลิเมนต์ การสร้างสมการของเอลิเมนต์ซึ่งในรูปแบบสมการ (3.16) สามารถทำได้โดย

- ก. วิธีการโดยตรง (Dirct approach) สามารถทำได้โดยง่าย แต่ในขณะเดียวกันก็ใช้ได้แต่เฉพาะปัญหาพื้นฐานเท่านั้น
- ข. วิธีการแปรผัน (Variational approach) สามารถทำได้โดยง่ายเช่นกัน แต่ในขณะเดียวกันจำเป็นต้องทราบฟังก์ชันแปรผันที่สอดคล้องกับสมการเชิงอนุพันธ์ของปัญหานั้นๆ ได้ด้วย ซึ่งโดยทั่วไปในทางปฏิบัติเราสามารถสร้างสมการเชิงอนุพันธ์ขึ้นมาได้ แต่ไม่สามารถหาฟังก์ชันแปรผันที่สอดคล้องกันได้
- ค. วิธีการถ่วงน้ำหนักเศษตกค้าง (Method of weighted residuals) สามารถนำไปประยุกต์ใช้แก้ปัญหาทั่วไปได้

ข้อตอนที่ 4 การนำสมการของแต่ละอเลิเมนต์ที่ได้มาประกอบรวมกันเข้า ก่อให้เกิดระบบสมการรวม (system of simultaneous equations) ในรูปแบบดังนี้

$$\sum(\text{element equations}) \rightarrow [\mathbf{K}]_{\text{sys}} \{\mathbf{\theta}\}_{\text{sys}} = \{\mathbf{F}\}_{\text{sys}} \quad (3.18)$$

ข้อตอนที่ 5_ ทำการประยุกต์เงื่อนไขของเขต (boundary conditions) ลงในระบบสมการรวม (3.18) แล้วจึงแก้ระบบสมการรวมนี้เพื่อหา $\{\mathbf{\theta}\}_{\text{sys}}$ อันประกอบด้วยตัวไม่รู้ค่าที่จุต่อ (nodal unknowns) ซึ่งอาจเป็นค่าขององค์กรเลื่อนตัวตามจุดต่อต่างๆ ของโครงสร้าง หรืออาจเป็นค่าของความเร็วของของไอลตามจุดต่อหากเป็นปัญหาเกี่ยวกับการไอล เป็นต้น

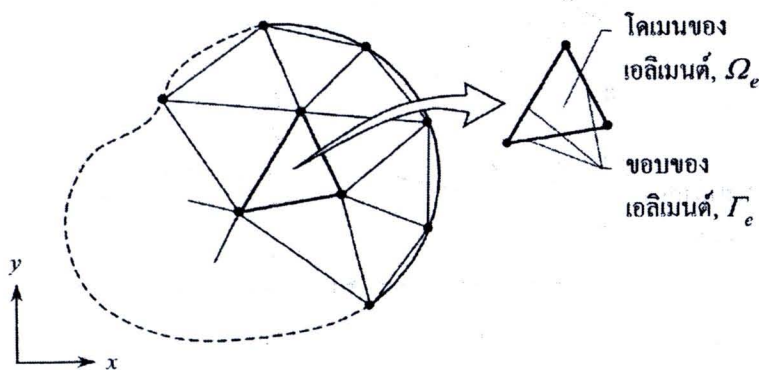
ข้อตอนที่ 6 เมื่อกำนัณค่าต่างๆ ที่จุดต่อออกมาได้แล้วก็สามารถนำมาใช้เพื่อหาค่าอื่นๆ ที่ต้องการต่อไปได้อีก เช่น เมื่อรู้ค่าการเสียรูป (Displacement) ตามจุดต่อต่างๆ ของโครงสร้างก็สามารถนำไปใช้หาค่าความเครียด (strain) และความดัน (stress) ได้ตามลำดับ หรือเมื่อรู้ค่าอุณหภูมิที่จุดต่อ ก็สามารถคำนวณหาปริมาณการถ่ายความร้อนได้ หรือเมื่อรู้ค่าความเร็วของของไอลที่จุดต่อ ก็สามารถนำไปคำนวณหาปริมาณอัตราไอลได้ เป็นต้น

จะเห็นได้ว่าระเบียบวิธีไฟโนต์อเลิเมนต์เป็นระเบียบวิธีที่มีระเบียบวิธีที่มีระเบียบแบบแผนอย่างเป็นขั้นตอน โดยมีหัวใจสำคัญอยู่ที่การสร้างสมการของอเลิเมนต์ในขั้นตอนที่ 3 ซึ่งโดยทั่วไปทำได้ 3 วิธี ดังที่กล่าวมาแล้วข้างต้น แต่เนื่องจากวิธีการถ่วงน้ำหนักเศษตกค้าง สามารถนำไปประยุกต์ใช้แก้ปัญหาทั่วไปได้ และยังให้ผลลัพธ์ใกล้เคียงกับวิธีการโดยตรง ซึ่งจะอธิบายในหัวข้อต่อไป

3.4.1.2 ระเบียบวิธีถ่วงน้ำหนักเศษตกค้างเพื่อสร้างสมการไฟไนต์элементต์ ลำดับขั้นตอนทั่วไป

การวิเคราะห์ปัญหาไฟไนต์эlementต์โดยระเบียบวิธีถ่วงน้ำหนักเศษ ตกค้างประกอบด้วยลำดับที่สำคัญ 6 ขั้นตอน ดังต่อไปนี้

ขั้นตอนที่ 1 แบ่งรูปร่างลักษณะของปัญหาที่กำหนดให้ออกเป็นэlementต์บ่อบ เช่น แบ่งออกเป็นэlementต์สามเหลี่ยมย่อยๆ สำหรับปัญหาในสองมิติ ดังภาพที่ 3.9



ภาพที่ 3.9 การแบ่งลักษณะรูปร่างของปัญหาออกเป็นэlementต์ [7]

จากนั้นจึงหาสมการเชิงอนุพันธ์ที่สอดคล้องกับปัญหาที่ต้องการวิเคราะห์นั้น สมการเชิงอนุพันธ์โดยทั่วไปสามารถเขียนให้อยู่ในรูปแบบได้ คือ

$$L(\bar{\phi}) = 0 \quad (3.19)$$

โดย L คือ ตัวดำเนินการเชิงอนุพันธ์ (differential operator) และ $\bar{\phi}$ คือ ตัวแปรตามแม่นตรง

ขั้นตอนที่ 2 สมนูดลักษณะการกระจายของผลเฉลยโดยประมาณบนэlementต์ให้อยู่ในรูป

$$\bar{\phi} = \bar{\phi}(x, y) = \sum_{i=1}^m N_i \phi_i = [N] \{\phi\} \quad (3.20)$$

โดย m คือ จำนวนจุดต่อของэlementต์นั้น N_i คือ ฟังก์ชันการประมาณภายในэlementต์และ ϕ_i คือ ตัวไม่รู้ค่าที่จุดต่อ

ขั้นตอนที่ 3 สร้างสมการไฟไนต์อเลิมентаโดยระบุวิธีถ่วงน้ำหนักของเศษตกค้าง หากเราแทนผลเฉลยโดยประมาณดังแสดงในสมการ (3.20) ลงในสมการเชิงอนุพันธ์ในสมการ (3.19) เราจะพบว่า

$$L(\bar{\phi}) \neq 0 \text{ แต่ } \bar{\phi} = R$$

โดย R คือ ค่าความคลาดเคลื่อนที่เกิดขึ้น หรือเศษตกค้าง (Residual) นั่นหมายถึงว่า

$$R = L(\emptyset) = L([N]\{\emptyset\}) = L(\sum_{i=1}^m N_i \phi_i) \quad (3.21)$$

เราจะใช้วิธีกานเลอร์คิน (Galerkin) ซึ่งมีขั้นตอนโดยเริ่มจากการคูณเศษตกค้าง R ด้วยฟังก์ชันน้ำหนัก (weighting function) W จากนั้นจึงอินทิเกรตตลอดทั้งโดเมนของอเลิมентаนั้น แล้วกำหนดผลที่ได้ให้เท่ากับศูนย์ นั่นคือ

$$\int_0^1 W_i R d\Omega = 0 \quad i = 1, 2, \dots, m \quad (3.22)$$

และโดยปกติเราจะเลือก $W_i = N_i$ ซึ่งเรียกว่าเป็นแบบบันโนฟ-กานเลอร์คิน (Bubnov-Galerkin) แต่ หากเราเลือก $W_i \neq N_i$ ซึ่งใช้กับปัญหางานชนิด จะเรียกว่าเป็นแบบเพตรอฟ-กานเลอร์คิน (Petrov-Galerkin)

ขั้นตอนที่ 4 อินทิเกรตทีละส่วน (integrate by parts) หากเราแทนสมการ (3.21) ลงใน สมการ (3.22) แล้วอินทิเกรตทีละส่วนจะได้

$$\int_0^1 W_i R d\Omega = \int_{\Omega^{(e)}} W_i L \left(\sum_{i=1}^m N_i \phi_i \right) d\Omega$$

$$\underbrace{\int_{\Omega^{(e)}} (W_i N_i, \phi_i) d\Omega}_{\text{พจน์ที่เกี่ยวข้องกับโดเมน}} + \underbrace{\int_{\Gamma^{(e)}} (W_i N_i, \phi_i) d\Gamma}_{\text{พจน์ที่เกี่ยวข้องกับ}} = 0$$

ขอบเขตของอเลิมента, $\Omega^{(e)}$

ขอบเขตของอเลิมента, $\Gamma^{(e)}$

ขั้นตอนที่ 5 แทนพจน์ที่เกี่ยวข้องกับขอบเขตของอเลิมента $\Gamma^{(e)}$ ด้วยภาวะขอบเขตอื่นๆ ที่เกี่ยวข้อง ซึ่งจะก่อให้เกิดสมการของอเลิมентаที่สมบูรณ์สำหรับปัญหานี้

ขั้นตอนที่ 6 จากนั้นจึงเขียนสมการของอเลิมเม้นต์ ซึ่งมีทั้งหมด m สมการให้อยู่ในรูปของเมตริกซ์ นั่นคือ

$$\underset{(m \times m)}{[K]} \{\phi\} = \underset{(m \times l)}{\{F\}} \quad (3.23)$$

โดย $[K]$ คือ อเลิมเม้นต์เมตริกซ์ของความแข็งเกริง (element stiffness matrix), $\{\phi\}$ คือ เวกเตอร์ซึ่งประกอบด้วยตัวไม้รู้ค่าที่จุดต่อต่าง ๆ ของอเลิมเม้นต์ และ $\{F\}$ คือ โหลดเวกเตอร์ของอเลิมเม้นต์นั้น เมื่อได้สมการไฟฟ้าต์อเลิมเม้นต์ดังแสดงในสมการ (3.23) แล้ว ขั้นตอนต่อไปคือรวมสมการของอเลิมเม้นต์ย่อยเข้าด้วยกันก่อให้เกิดระบบสมการรวม จากนั้นก็กำหนดเงื่อนไขขอบเขต แล้วจึงแก้ระบบสมการรวมเพื่อหาค่าผลลัพธ์ที่จุดต่อต่าง ๆ

3.4.1.3 วิธีการถ่วงน้ำหนักเศษตกค้างแบบต่างๆ

วิธีการถ่วงน้ำหนักเศษตกค้าง สามารถแบ่งเป็น 4 วิธี ดังนี้

(1) วิธีการจัดตำแหน่งจุด (point collocation)

วิธีการนี้ทำได้โดยใช้หลักการที่ง่ายๆคือ กำหนดให้ค่าเศษตกค้างเท่ากับศูนย์ที่บางตำแหน่งเนื่องจากเราต้องการ 2 สมการ ดังนั้นเราจะจัดตำแหน่ง

$$R(t_1) = 0$$

$$R(t_2) = 0$$

โดยที่ t_1 และ t_2 เป็นตำแหน่งในช่วงเวลาที่พิจารณา ซึ่งในที่นี่คือ 0 ถึง 1 เช่น

$$t_1 = \frac{1}{3}; R\left(\frac{1}{3}\right) = 1 + c_1\left(1 + \frac{1}{3}\right) + c_2\left(2\left(\frac{1}{3}\right) + \left(\frac{1}{3}\right)^2\right) = 0$$

$$t_2 = \frac{2}{3}; R\left(\frac{2}{3}\right) = 1 + c_1\left(1 + \frac{2}{3}\right) + c_2\left(2\left(\frac{2}{3}\right) + \left(\frac{2}{3}\right)^2\right) = 0$$

และจาก 2 สมการนี้ เราสามารถหาค่าคงที่ค่าที่ได้คือ

$$c_1 = -0.9310 \quad \text{และ} \quad c_2 = 0.3103$$

ดังนั้น $x(t) = 1 - 0.9310 t + 0.3103 t^2 \quad (3.24)$

(2) วิธีการจัดโดเมนย่อย (subdomain collocation)

การถ่วงน้ำหนักเศษตกค้าง โดยการจัดโดเมนย่อยนั้น ทำโดยแบ่งโดเมนทั้งหมดออกเป็นส่วนย่อยๆ แล้วกำหนดให้ผลจากการอินทิเกรตของฟังก์ชันเศษตกค้าง R ของแต่ละโดเมนย่อยนั้นเท่ากับศูนย์ นั่นคือ

$$\int_0^{t_1} R(t) dt = 0$$

$$\int_{t_1}^1 R(t) dt = 0$$

โดย t_1 อยู่ในช่วงเวลาที่พิจารณา หากเราเลือก $t_1 = \frac{1}{2}$ เราจะได้

$$\begin{aligned} \int_0^{1/2} R(t) dt ; \quad \frac{1}{2} + \frac{5}{8} c_1 + \frac{7}{24} c_2 &= 0 \\ \int_{1/2}^1 R(t) dt ; \quad \frac{1}{2} + \frac{7}{8} c_1 + \frac{25}{24} c_2 &= 0 \end{aligned}$$

และจาก 2 สมการนี้ เราสามารถหาค่าคงที่ได้ดังนี้

$$\begin{aligned} c_1 &= -0.9474 \quad \text{และ} \quad c_2 = 0.3158 \\ \text{ดังนั้น} \quad x(t) &= 1 - 0.9474 t + 0.3158 t^2 \end{aligned} \quad (3.25)$$

(3) วิธีการเกลอร์คิน (Galerkin)

การถ่วงน้ำหนักเศษตกค้าง โดยวิธีการเกลอร์คิน ทำโดยการคูณฟังก์ชันเศษตกค้าง R ด้วยฟังก์ชันน้ำหนัก (weighting function) W จากนั้นจึงอินทิเกรตตลอดทั้งโดเมนแล้วกำหนดผลที่ได้ให้เท่ากับศูนย์ นั่นคือ

$$\int_0^1 R(t) W_i(t) dt = 0 \quad (3.26)$$

และเนื่องจากเราต้องการ 2 สมการ ดังนั้น ค่า $i = 1, 2$ การเลือกฟังก์ชันน้ำหนัก $W_i(t)$ ทำได้โดยการเลือกจากฟังก์ชันที่สัมพันธ์กับตัวไมรูรูค่า c_1 และ c_2 ที่ปรากฏอยู่ในสมการของผลเฉลย โดยประมาณนั้น ดังเช่น

$$x(t) = 1 + c_1 \frac{t}{w_1} + c_2 \frac{t^2}{w_1} \quad (3.27)$$

แทน $w_1 = t$ และ $w_2 = t^2$ ลงในสมการ (4.22) จะได้

$$\int_0^1 R(t)t dt = 0 ; \quad \frac{1}{2} + \frac{5}{6}c_1 + \frac{11}{12}c_2 = 0$$

$$\int_0^1 R(t)t^2 dt = 0 ; \quad \frac{1}{3} + \frac{7}{12}c_1 + \frac{7}{10}c_2 = 0$$

และจาก 2 สมการนี้ ก่อให้เกิดค่าคงที่ คือ

$$\begin{aligned} c_1 &= -0.9143 \quad \text{และ} \quad c_2 = 0.2857 \\ \text{ดังนั้น} \quad x(t) &= 1 - 0.9143t + 0.2857t^2 \end{aligned} \quad (3.28)$$

อนึ่งด้วยเหตุผลหลายๆ ประการ เราจะใช้ระเบียบวิธีการเลอร์คินน์เพื่อสร้างสมการไฟไนต์อิลิเมนต์ สำหรับอิลิเมนต์แบบต่างๆ ยกตัวอย่างเช่นอิลิเมนต์ในหนึ่งมิติ ลักษณะการกระจายของผลเฉลย โดยประมาณของอิลิเมนต์นี้ คือ

$$\emptyset = \frac{N_1}{w_1} \emptyset_1 + \frac{N_2}{w_2} \emptyset_2 \quad (3.29)$$

โดย \emptyset_1 และ \emptyset_2 คือตัวไม่รู้ค่าลักษณ์กับ c_1 และ c_2 ในสมการ (3.27) ดังนั้น N_1 และ N_2 สามารถนำไปใช้เป็นฟังก์ชันน้ำหนัก w_1 และ w_2 เพื่อสร้างสมการไฟไนต์อิลิเมนต์ได้

(4) วิธีกำลังสองน้อยสุด (least squares)

การถ่วงน้ำหนักเศษตกค้างโดยวิธีกำลังสองน้อยสุด ทำโดยการยกกำลังสองของเศษตกค้าง จากนั้น อินทิเกรตตลอดทั้งโดเมน และวิจัยทำการหาค่าต่ำสุด (minimization) ซึ่งสอดคล้องกับตัวไม่รู้ค่า นั้นคือ

$$\frac{\partial}{\partial c_i} \int_0^1 R^2(t) dt = 0 \quad (3.30)$$

เนื่องจากเรามีตัวไม่รู้ค่า 2 ตัว ดังนั้นจึงก่อให้เกิด 2 สมการคือ

$$\frac{\partial}{\partial c_1} \int_0^1 R^2(t) dt = 0 ; \quad \frac{3}{2} + \frac{7}{3}c_1 + \frac{9}{4}c_2 = 0$$

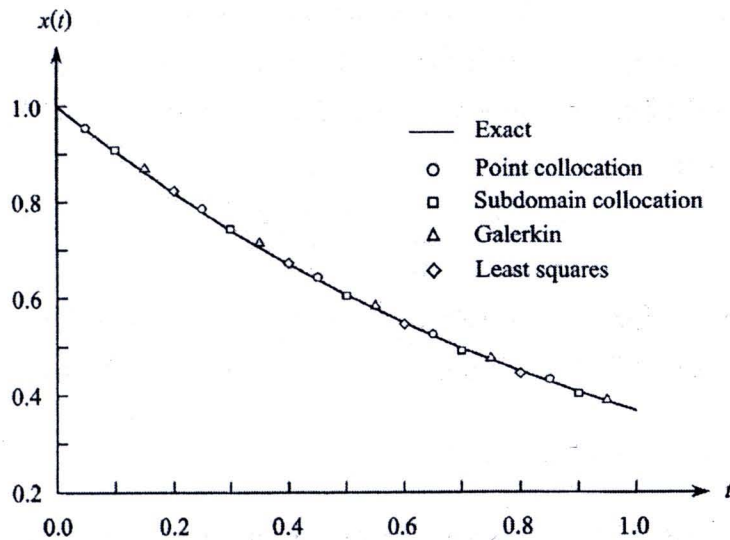
$$\frac{\partial}{\partial c_2} \int_0^1 R^2(t) dt = 0 ; \quad \frac{4}{3} + \frac{9}{4}c_1 + \frac{38}{15}c_2 = 0$$

ซึ่งให้ค่าคงที่ คือ

ดังนี้ $c_1 = -0.9427$ และ $c_2 = 0.3110$

$$x(t) = 1 - 0.9427 t + 0.3110 t^2 \quad (3.31)$$

จากผลเฉลยโดยประมาณที่ได้จาก 4 วิธีการดังแสดงในสมการ (3.24), (3.25), (3.28), และ (3.31) เราพบว่าต่างมีค่าใกล้เคียงกับผลเฉลยแม่นตรงดังแสดงในภาพที่ 3.10 หาก ซึ่งเมื่อพล็อตเปรียบเทียบกันจะพบว่ากราฟทั้ง 2 เส้น กีอนจะเห็นเป็นเส้นเดียวกัน โดยมีความคลาดเคลื่อนไม่ถึง 1 เปอร์เซ็นต์

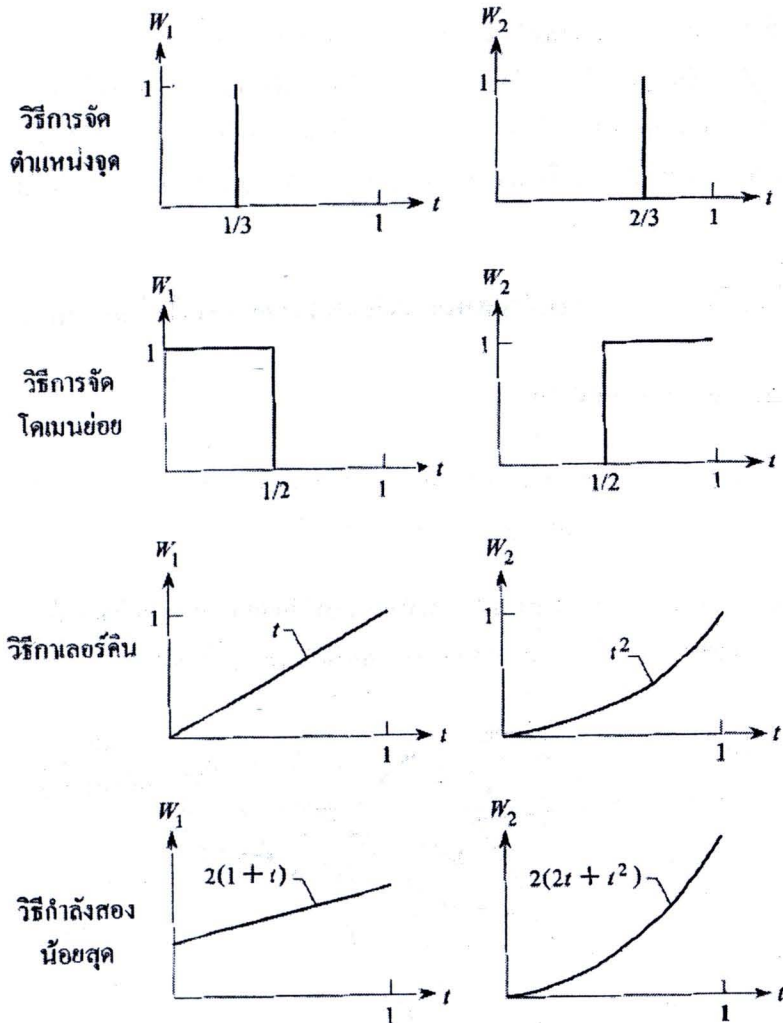


ภาพที่ 3.10 การเปรียบเทียบผลเฉลยแม่นตรงกับผลเฉลยโดยประมาณซึ่งเกิดจากการะเบียนวิธีถ่วงน้ำหนักเศษตกล้างแบบต่าง ๆ [7]

อนึ่ง ทั้ง 4 ระเบียนวิธีนี้อาจเขียนให้อยู่ในรูปของสมการ

$$\int_0^1 R(t)W_i(t)dt = 0 \quad (3.32)$$

โดยฟังก์ชันน้ำหนัก W_i มีลักษณะต่างๆ กันดังแสดงในภาพที่ 3.11



ภาพที่ 3.11 ฟังก์ชันน้ำหนักที่ใช้ในระเบียบวิธีถ่วงน้ำหนักเศษตกค้างแบบต่าง [7]

หากเราพิจารณาข้อดีข้อเสียในแต่ละระเบียบวิธีถ่วงของระเบียบวิธีถ่วงน้ำหนักเศษตกค้าง เราจะพบว่าวิธีการเลอเรคิน (วิธีที่ 3) มีข้อได้เปรียบมากที่สุด กล่าวคือ เราไม่จำเป็นต้องเลือกตัวแทนงดังเช่นที่ใช้ในวิธีการจัดตัวแทนง่ายๆ (วิธีที่ 1) หรือวิธีการจัดโภเมนย่อย (วิธีที่ 2) อีกทั้งขั้นตอนการคำนวนที่ใช้ก็น้อยและสะดวกกว่าวิธีกำลังสองน้อยสุด (วิธีที่ 4) และที่สำคัญที่สุดซึ่งเราจะได้พบกันต่อไปคือ ไฟไนต์ออลิเมนต์เมทริกซ์ที่เกิดขึ้นจากการใช้วิธีการเลอเรคิน (วิธีที่ 3) นั้น ปกติจะมีความสมมาตรซึ่งเป็นประโยชน์อย่างมากต่อการประดิษฐ์โปรแกรมคอมพิวเตอร์เพื่อใช้

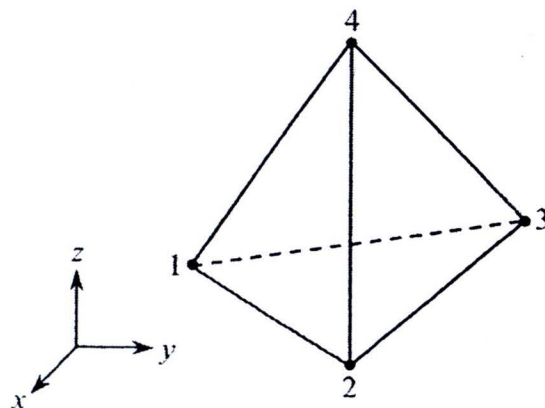
วิเคราะห์ปัญหาขนาดใหญ่ทำให้วิธีการเลอร์คินนี้ได้รับความนิยมเพื่อใช้สร้างสมการไฟฟ้าในตัวอ่อนตัว

3.4.2 พังก์ชันประมาณการภายในэлемент์สามมิติ

элемент์แบบสามมิติที่นิยมใช้กันมากในทางปฏิบัติมีอยู่สองแบบ คือ เอลิเมนต์ทรงสี่หน้า (*tetrahedral element*) และเอลิเมนต์ทรงหกหน้า (*hexahedral element*)

3.4.2.1 เอลิเมนต์ทรงสี่หน้า

การประดิษฐ์พังก์ชันประมาณการภายในэlement์ของทรงสี่หน้า ประกอบด้วยสี่จุดต่อ ดังแสดงในภาพที่ 3.12 มีหลักการคล้ายกับเอลิเมนต์สามเหลี่ยมในสองมิติ กล่าวคือ



ภาพที่ 3.12 เอลิเมนต์ทรงสี่หน้าในสามมิติ [7]

เริ่มจากการสมมุติการกระจายของผลเฉลยโดยประมาณให้อยู่ในรูปแบบ

$$\emptyset(x, y, z) = \alpha_1 + \alpha_2 x + \alpha_3 y + \alpha_4 z \quad (3.33)$$

โดย $\alpha_i, i = 1, 2, 3, 4$ เป็นค่าคงตัวที่หาได้จากเงื่อนไขของค่าที่จุดต่อทั้งสี่ ซึ่งหลังจากหาค่าคงตัว ทั้งสี่นี้ได้แล้ว เราสามารถเปลี่ยนลักษณะการกระจายของผลเฉลยโดยประมาณให้อยู่ในรูปของค่าที่จุดต่อได้ดังนี้

$$\emptyset = N_1 \emptyset_1 + N_2 \emptyset_2 + N_3 \emptyset_3 + N_4 \emptyset_4 = [N] \{\emptyset\} \quad (3.34)$$

โดย N_i คือ พังก์ชันประมาณการภายใน ซึ่งสามารถเขียนให้อยู่ในรูปแบบดังนี้

$$N_i = \frac{1}{6V} (a_i + b_i x + c_i y + d_i) \quad i = 1, 2, 3, 4 \quad (3.35)$$

ในที่นี้

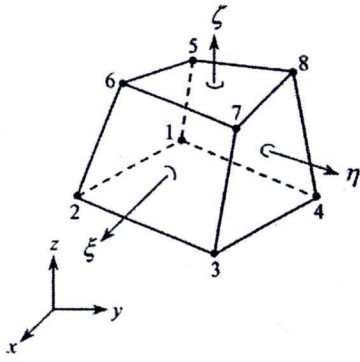
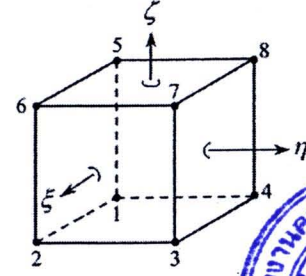
$$V = \text{ปริมาตรของอลิเมนต์} = \frac{1}{6} \begin{vmatrix} 1 & x_1 & y_1 & z_1 \\ 1 & x_2 & y_2 & z_2 \\ 1 & x_3 & y_3 & z_3 \\ 1 & x_4 & y_4 & z_4 \end{vmatrix} \quad (3.36)$$

$$\begin{aligned} a_1 &= \begin{vmatrix} x_2 & y_2 & z_2 \\ x_3 & y_3 & z_3 \\ x_4 & y_4 & z_4 \end{vmatrix} & c_1 &= - \begin{vmatrix} x_2 & 1 & z_2 \\ x_3 & 1 & z_3 \\ x_4 & 1 & z_4 \end{vmatrix} \\ b_1 &= - \begin{vmatrix} 1 & y_2 & z_2 \\ 1 & y_3 & z_3 \\ 1 & y_4 & z_4 \end{vmatrix} & d_1 &= - \begin{vmatrix} x_2 & y_2 & 1 \\ x_3 & y_3 & 1 \\ x_4 & y_4 & 1 \end{vmatrix} \end{aligned} \quad (3.37)$$

และค่าคงที่ตัวอื่น ๆ $a_i, b_i, c_i, d_i, i = 2, 3, 4$ ก็มีลักษณะเช่นเดียวกับสมการ (3.37) ซึ่งสามารถเขียนขึ้นได้โดยวิธีการวนสลับเปลี่ยนตัวเลข (*cyclic permutation*)

3.4.2.2 เอลิเมนต์ทรงหกหน้า

การสร้างฟังก์ชันประมาณการภายในของอลิเมนต์ทรงหกหน้าซึ่งประกอบด้วยจุดต่อ 8 จุดต่อ ดังในภาพที่ 3.13 (ก) ใช้หลักการเช่นเดียวกับอลิเมนต์รูปสี่เหลี่ยมด้านไม่เท่ารูปร่างอลิเมนต์ทรงหกหน้าซึ่งโดยปกติจะไม่มีด้านใดๆ ให้เป็นด้านที่ขาดจากล้ำบากในการหาอลิเมนต์เมตริกต่าง ๆ เพราะต้องอินพิเกรตบนปริมาตรทั้งหมดของอลิเมนต์ ดังนั้นเพื่อลดความยากลำบากดังกล่าวเราจึงแบ่งอลิเมนต์ทรงหกหน้าซึ่งอยู่ในพิกัด $x - y - z$ ไปให้อยู่ในทรงลูกบาศก์ในพิกัดธรรมชาติ $\xi - \eta - \zeta$ ดังแสดงในภาพที่ 3.13

(ก) พิกัด $x - y - z$ (ข) พิกัด $\xi - \eta - \zeta$ 

ภาพที่ 3.13 การแปลงэлементทั่วไปให้เป็นทรงลูกบาศก์ [7]

โดยขยายค่าลูกบาศก์ทั้งในแกน ξ , η และ ζ ต่างเริ่มจากระดับ -1 ไปจนถึง +1 โดยการกระจายของผลเฉลยโดยประมาณในэлементนี้สามารถเขียนให้อยู่ในรูปแบบได้ดังนี้

$$\phi = \sum_{i=1}^8 N_i \phi_i = [N]\{\phi\} \quad (3.38)$$

โดย $\phi_i = 1 \text{ ถึง } 8$ คือ ค่าที่จุดต่อทั้งแปด และ $N_i = 1 \text{ ถึง } 8$ คือ พิกัดชันการประมาณภายในэlement ซึ่งสามารถเขียนให้อยู่ในรูปของพิกัดธรรมชาติ ดังนี้

$$\begin{aligned} N_1 &= \frac{1}{8}(1-\xi)(1-\eta)(1-\zeta)N_5 = \frac{1}{8}(1-\xi)(1-\eta)(1+\zeta) \\ N_2 &= \frac{1}{8}(1+\xi)(1-\eta)(1-\zeta)N_6 = \frac{1}{8}(1+\xi)(1-\eta)(1+\zeta) \\ N_3 &= \frac{1}{8}(1+\xi)(1+\eta)(1-\zeta)N_7 = \frac{1}{8}(1+\xi)(1+\eta)(1+\zeta) \\ N_4 &= \frac{1}{8}(1-\xi)(1+\eta)(1-\zeta)N_8 = \frac{1}{8}(1-\xi)(1+\eta)(1+\zeta) \end{aligned} \quad (3.39)$$

эlement ชนิดนี้เป็นไอโซพารามทริกซ์эlement เช่นกัน และพิกัดชันการประมาณภายในэlement ดังแสดงในสมการ (3.39)